

Versuch 353

## Das Relaxationsverhalten eines RC-Kreises

Nico Schaffrath  
nico.schaffrath@tu-dortmund.de

Mira Arndt  
mira.arndt@tu-dortmund.de

Durchführung: 3.12.2019

Abgabe: 10.12.2019

# Inhaltsverzeichnis

<b>1</b>	<b>Ziel</b>	<b>3</b>
<b>2</b>	<b>Theorie</b>	<b>3</b>
2.1	Allgemeine Relaxationsgleichung . . . . .	3
2.2	Entladevorgang eines RC-Kreises . . . . .	3
2.3	Frequenzabhängigkeiten der Phasenverschiebung und der Amplitude beim Kondensator . . . . .	4
2.4	Ein RC-Kreis als Integrierglied . . . . .	4
<b>3</b>	<b>Durchführung</b>	<b>5</b>
3.1	Entladevorgang des RC-Kreises und Bestimmung der Zeitkonstanten . . .	5
3.2	Frequenzabhängigkeit der Phasenverschiebung und der Amplitude beim Kondensator . . . . .	5
3.3	Integrierfunktion des RC-Kreises . . . . .	7
<b>4</b>	<b>Auswertung</b>	<b>7</b>
<b>5</b>	<b>Diskussion</b>	<b>8</b>
<b>6</b>	<b>Anhang</b>	<b>8</b>
	<b>Literatur</b>	<b>8</b>

# 1 Ziel

Bei diesem Versuch werden die Relaxationserscheinungen eines RC-Kreises untersucht. Es soll die Zeitkonstante des RC-Gliedes bestimmt, die Abhängigkeit der Amplitude der Kondensatorspannung von der Generatorfrequenz untersucht und die Phasenverschiebung zwischen Generator- und Kondensatorspannung in Abhängigkeit der Frequenz gemessen werden. Anschließend soll nachgewiesen werden, dass ein RC-Kreis unter bestimmten Voraussetzungen, die in der Theorie (REFERENZ) hergeleitet werden, als Integrator dienen kann.

## 2 Theorie

### 2.1 Allgemeine Relaxationsgleichung

Bei einem System, das nicht-oszillatorisch in seinen Ausgangszustand zurückkehrt treten Relaxationserscheinungen auf. Dabei gilt meist der Zusammenhang

$$\frac{dA}{dt} = c[A(t) - A(\infty)], \quad (1)$$

wobei  $A$  die sich ändernde physikalische Größe ist. Die Integration dieser Gleichung führt auf die Allgemeine Relaxationsgleichung

$$A(t) = A(\infty) + [A(0) - A(\infty)]e^{ct}. \quad (2)$$

Ist  $c$  negativ, und  $A$  somit beschränkt, können mit dieser Formel alle Relaxationsvorgänge beschrieben werden.

### 2.2 Entladevorgang eines RC-Kreises

Ein mit Ladung  $Q$  geladener Kondensator erzeugt eine Kondensatorspannung  $U_C$ , die einen Strom  $I$  bedingt. Mit Hilfe des Ohmschen Gesetzes lässt sich die zeitliche Änderung von  $Q$  also als

$$\frac{dQ}{dt} = -\frac{1}{RC} Q(t) \quad (3)$$

schreiben. Mit dem Zusammenhang  $Q(\infty) = 0$  wird Gleichung 2 zu

$$Q(t) = Q(0)e^{-\frac{t}{RC}} \quad (4)$$

Die Zeitkonstante  $RC$  gibt dabei an, wie schnell  $Q$  seinen Endzustand  $Q(\infty)$  erreicht. Nach  $\Delta t = RC$  ändert sich die Ladung  $Q$  um

$$\frac{Q(RC)}{Q(0)} = \frac{1}{e}, \quad (5)$$

und dem entsprechend auch

$$\frac{U_C(RC)}{U_C(0)} = \frac{1}{e}. \quad (6)$$

### 2.3 Frequenzabhängigkeiten der Phasenverschiebung und der Amplitude beim Kondensator

Ein RC-Kreis, der mit Wechselspannung betrieben wird, kann mit einem mechanischem System verglichen werden, bei welchem Relaxationsphänomene durch periodische Auslenkung aus der Gleichgewichtslage auftreten. Die anliegende äußere Spannung  $U$  hat also die Form

$$U(t) = U_0 \cos(\omega t). \quad (7)$$

Die Kondensatorspannung  $U_C$  ist phasenverschoben zu  $U$  und hat die Form

$$U_C(t) = A(\omega) \cos(\omega t + \phi(\omega)), \quad (8)$$

wobei sowohl die Amplitude  $A$  als auch die Phasenverschiebung  $\phi$  von  $\omega$  abhängt, also Frequenzabhängig ist. Nach dem zweiten Kirchhoffschen Gesetz lassen sich die Spannungen im Stromkreis durch

$$U_0 \cos(\omega t) = -A\omega RC \sin(\omega t + \phi) + A \cos(\omega t + \phi) \quad (9)$$

in Zusammenhang setzen. Mit Hilfe dieser Gleichung und der Überlegung, dass sie zu allen Zeiten erfüllt sein muss kann die Phasenverschiebung durch

$$\phi(\omega) = \arctan(-\omega RC) \quad (10)$$

beschrieben werden. Durch den Zusammenhang  $\omega=1/RC$  ergibt sich außerdem die Amplitude als

$$A(\omega) = \frac{U_0}{\sqrt{1 + \omega^2 R^2 C^2}}. \quad (11)$$

Es ist zu erkennen, dass für  $\omega \rightarrow 0$  die Phasenverschiebung  $\phi$  verschwindet und  $A$  sich  $U_0$  annähert. Für  $\omega \rightarrow \infty$  nähert sich  $\phi$   $\pi/2$  an und  $A$  geht gegen 0.

Bei diesem Versuch wird die Phasenverschiebung  $\phi$  über die Größen  $a$  und  $b$  bestimmt, wobei  $b$  die Periodendauer einer Schwingung und  $a$  die Verrückung zweier Spannungen bei einem Zweikanaloszilloskop ist.

$$\phi = \frac{a}{b} \cdot 2\pi \quad (12)$$

### 2.4 Ein RC-Kreis als Integrierglied

Ein RC-Kreis kann auch als Integrator für die Wechselspannung  $U(t)$  dienen. Gleichung 9 kann auch als

$$U(t) = RC \frac{dU_C}{dt} + U_C(t) \quad (13)$$

geschrieben werden. Unter der Voraussetzung  $\omega \gg 1/RC$  ergibt sich dann

$$U(t) = RC \frac{dU_C}{dt} \iff U_C = \frac{1}{RC} \int_0^t U(t') dt' \quad (14)$$

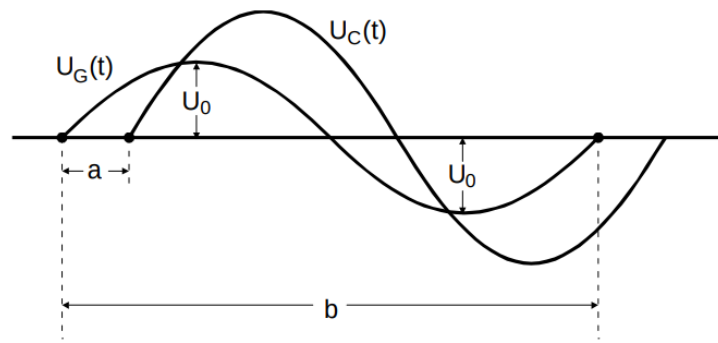


Abbildung 1: Die Größen  $a$  und  $b$  bei  $U_G(t)$  und  $U_C(t)$  [1]

### 3 Durchführung

#### 3.1 Entladevorgang des RC-Kreises und Bestimmung der Zeitkonstanten

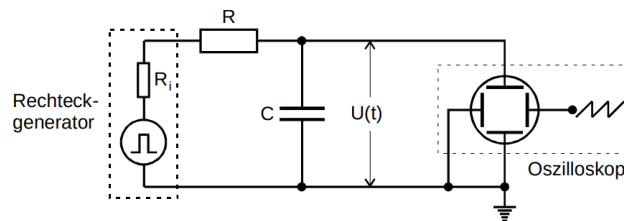
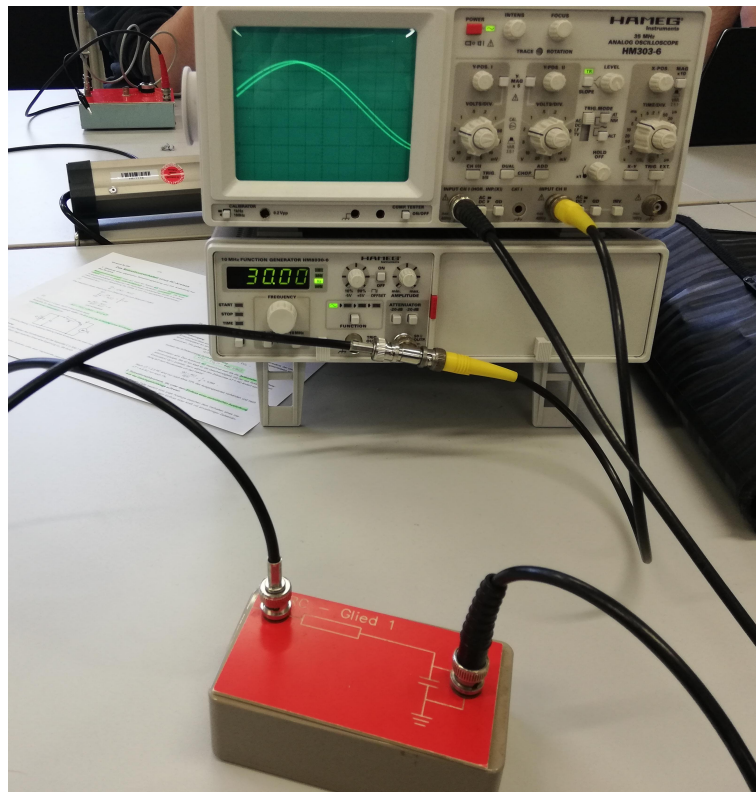


Abbildung 2: Messung des Entladevorgangs eines RC-Gliedes [1]

Um den Entladevorgang des RC-Gliedes mit Wert 1 zu untersuchen, wird die Spannung am Kondensator mit Hilfe eines Oszilloskopes beobachtet. An das RC-Glied wird ein Generator angeschlossen, welcher eine Rechteckspannung mit einer Amplitude von  $U_0 = 4,8 \text{ V}$  erzeugt. Sobald der Kondensator voll aufgeladen ist und die Spannung auf null springt, beginnt die Entladung des Kondensators. Der Vorgang endet, wenn die Spannung wieder  $U = U_0 = 4,8 \text{ V}$  beträgt. Der Entladevorgang kann also nicht vollständig aufgezeichnet werden, das Oszilloskop zeigt jedoch einen entsprechenden Ausschnitt (REFERENZ BILD) mit dem sich die Zeitkonstante  $RC$  bestimmen lässt.

#### 3.2 Frequenzabhängigkeit der Phasenverschiebung und der Amplitude beim Kondensator

Der Aufbau entspricht dem von 3.1 wobei hier zusätzlich die Spannung  $U$  des Generators auf dem zweiten Kanal des Oszillographen angezeigt wird und somit mit der Spannung  $U_C$  des Kondensators verglichen werden kann. Außerdem liegt nun keine Rechteckspannung, sondern eine Sinusspannung mit  $U_0 = 5 \text{ V}$  vor. Die Phasenverschiebung  $\phi$  zwischen  $U$  und  $U_C$  und die Amplitude von  $U_C$  werden nun gleichzeitig untersucht. Dafür wird die Frequenz  $\omega$  der Generatorspannung  $U$  von  $10 \text{ Hz}$  bis  $10\,000 \text{ Hz}$  hochgeregelt und 21 Messwerte ins Messheft aufgenommen.



**Abbildung 3:** Aufbau zur Messung der Frequenzabhängigkeit der Phasenverschiebung und der Amplitude beim Kondensator

### 3.3 Integrierfunktion des RC-Kreises

Es wird der gleiche Aufbau wie bei verwendet. Nach der Bedingung  $\omega \gg 1/RC$  wird eine Frequenz von  $\omega = 45 \text{ kHz}$  gewählt. Anschließend soll die zu integrierende und integrierte Spannung auf dem Zweikanaloszilloskop bei einer Rechteck-, Sinus- und Dreiecksspannung dargestellt werden. Die Amplitude der Generatorspannung  $U$  ist hierbei  $5 \text{ V}$ .

## 4 Auswertung

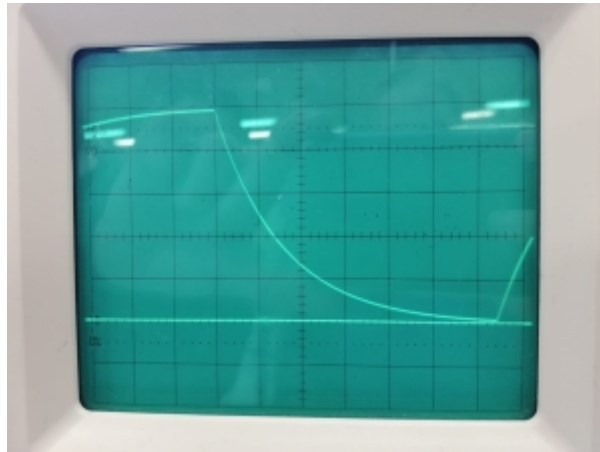


Abbildung 4: TEXT

Siehe ??!

Messung	$U_G / \text{V}$	$U_C / \text{V}$	Frequenz / Hz	$a / \text{ms}$	$b / \text{ms}$	Phase
1	5	4.9	10	0.6	98	0.03847
2	5	4.9	20	1.0	50	0.12566
3	5	4.8	30	0.8	33	0.15232
4	5	4.8	40	0.76	25	0.19101
5	5	4.8	50	0.8	20	0.25132
6	5	4.7	60	0.7	16.5	0.26656
7	5	4.6	70	0.8	14	0.35904
8	5	4.5	80	0.8	12.4	0.40537
9	5	4.4	90	0.8	11.2	0.44880
10	5	4.4	100	0.7	10	0.43982
11	5	4.2	125	0.7	8	0.54978
12	5	4.0	150	0.65	6.6	0.61880
13	5	3.6	175	0.6	5.7	0.66139
14	5	3.5	200	0.6	5	0.75398
15	5	2.6	300	0.5	3.3	0.95200
16	5	2.2	400	0.4	2.5	1.00531
17	5	1.8	500	0.4	2	1.25664
18	5	1.2	750	0.28	1.35	1.30318
19	5	0.95	1000	0.2	1	1.25664
20	5	0.20	5000	0.05	0.2	1.57080
21	5	0.10	10000	0.025	0.1	1.57080

**Tabelle 1:** Aufgenommene Werte zur Bestimmung von  $R_{11}$

## 5 Diskussion

## 6 Anhang

### Literatur

- [1] TU Dortmund. *Versuchsanleitung-Das Relaxationsverhalten eines RC-Kreises*.
- [2] John D. Hunter. „Matplotlib: A 2D Graphics Environment“. Version 1.4.3. In: *Computing in Science & Engineering* 9.3 (2007), S. 90–95. URL: <http://matplotlib.org/>.
- [3] Travis E. Oliphant. „NumPy: Python for Scientific Computing“. Version 1.9.2. In: *Computing in Science & Engineering* 9.3 (2007), S. 10–20. URL: <http://www.numpy.org/>.